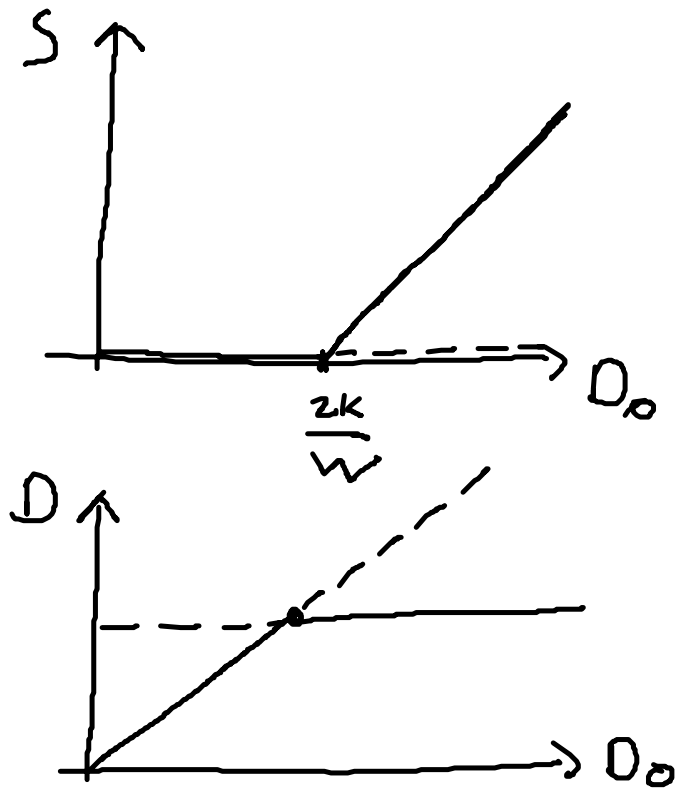


Stationäre Lösungen und Stabilität der Laser Bilanzgleichungen



Photonendichte S ,
 Photonenzahl $Z = S \cdot V$
 ↑
 Volumen

$$\frac{dS}{dt} = \omega D S - Z k S$$

$$\frac{dD}{dt} = \frac{D_0 - D}{T} - Z \omega D S$$

Inversion D

ohne spontan.
Emission

- An der Laserschwelle $D_0 = \frac{Zk}{\omega}$ verzweigt sich
 also die stationäre Lösung, und die Stabilität wechselt

Bifurkation!

- kann nur in nichtlinearen Systemen auftreten
- an der Laserschwelle ändert sich qualitativ das Verhalten

Nichtgleichgewichts-Phasenübergang



- fern vom therm. GG.

(GG gegeben durch Boltzmanns

Verteilung

$$\frac{N_2}{N_1} = e^{-\frac{(E_2 - E_1)}{kT}} < 1$$

$$D = N_2 - N_1 < 0$$

- Der Ordnungsparameter S ändert sich stetig an der Schwelle, aber nicht diff. bar

\Rightarrow Phasenübergang 2. Ordnung

2.1.2. stationäre Lösungen mit spontaner Emission

Unterhalb der Schwelle: stimulierte Emission kann gegenüber spont. Emission vernachlässigt werden

$$\left[\begin{array}{l} \frac{dD}{dt} = \frac{D_0 - D}{T} - 2WDS \cdot V - W(N+D) \\ \frac{dS}{dt} = WDS - 2RS + \frac{1}{2} \frac{W}{V} (N+D) \end{array} \right]$$

$\dot{D} = 0$
für $S \approx 0$

$$D_0 - 0 = TW(N+D)$$

$$D \approx \frac{D_0 - TWN}{T} < D_0$$

$$1 + Tw$$

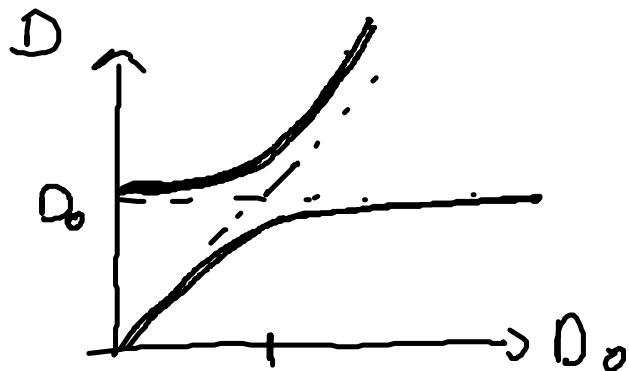
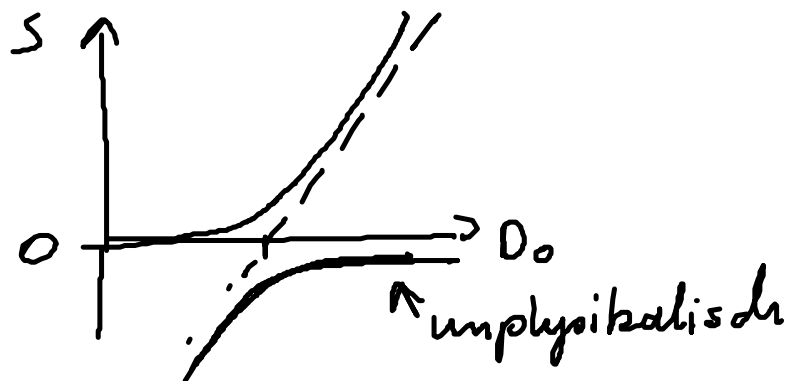
$$\dot{S} = 0$$

für $S \approx 0 \rightarrow S \approx \frac{\frac{w}{zV} (N+D)}{zk - wD} \approx \frac{\frac{w}{V} (N+D_0)}{4k(1+Tw) - 2w(D_0 - TwN)}$

wächst mit D_0

grafische Veranschaulichung der

Lösungen von $\dot{S} = 0$ & $\dot{D} = 0$

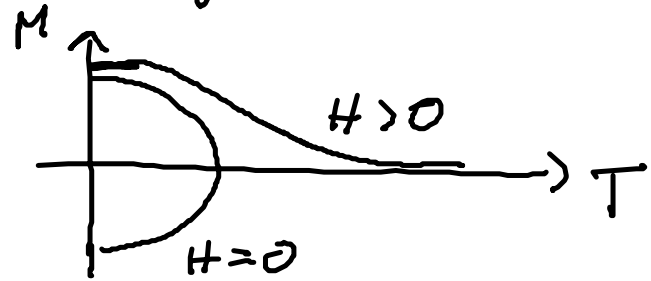


* es existiert für alle D_0
ein eindeutiger, stabiler
stationärer Zustand

$\frac{2K}{W}$

- Der Phasenübergang 2. Ordnung wird durch die spontane Emission zerstört

(vgl. die Wirkung eines Magnetfeldes auf Ferromagneten)



2.1.3, Relaxationsoszillationen

(Stabilität des zweiten Fixpunktes $S \neq 0$)

• Spontane Emission vernachlässigt (klein wenn Laser läuft)

• oberhalb der Schwelle $D_0 > \frac{2K}{\omega}$

$$2K = \tilde{\Gamma}_{ph}^{-1}$$

↑
Photonen
Lebensdauer

Jakobi-Matrix am Fixpunkt (\bar{D}, \bar{S}) $D^* = \frac{2K}{\omega} ; S^* = \frac{D_0 \omega - 2K}{4KT \omega \cdot V}$

$$\frac{d}{dt} \begin{pmatrix} \delta D \\ \delta S \end{pmatrix} = \begin{pmatrix} -\frac{1}{T} - 2\omega S^* \cdot V & -2\omega D^* \cdot V \\ \omega S^* & \omega D^* - 2K \end{pmatrix} \begin{pmatrix} \delta D \\ \delta S \end{pmatrix}$$

$$= \begin{pmatrix} -\frac{P}{T} & -4K \cdot V \\ \frac{2K(P-1)}{4KT \cdot V} & 0 \end{pmatrix} \begin{pmatrix} \delta D \\ \delta S \end{pmatrix}$$

⏟
A

effektiver
Pump parameter $P = \frac{W}{2k} D_0$

Charaktergleichung: $\lambda^2 - \lambda \operatorname{tr} A + \det A = 0$

$$\operatorname{tr} A = -\frac{P}{T} < 0$$

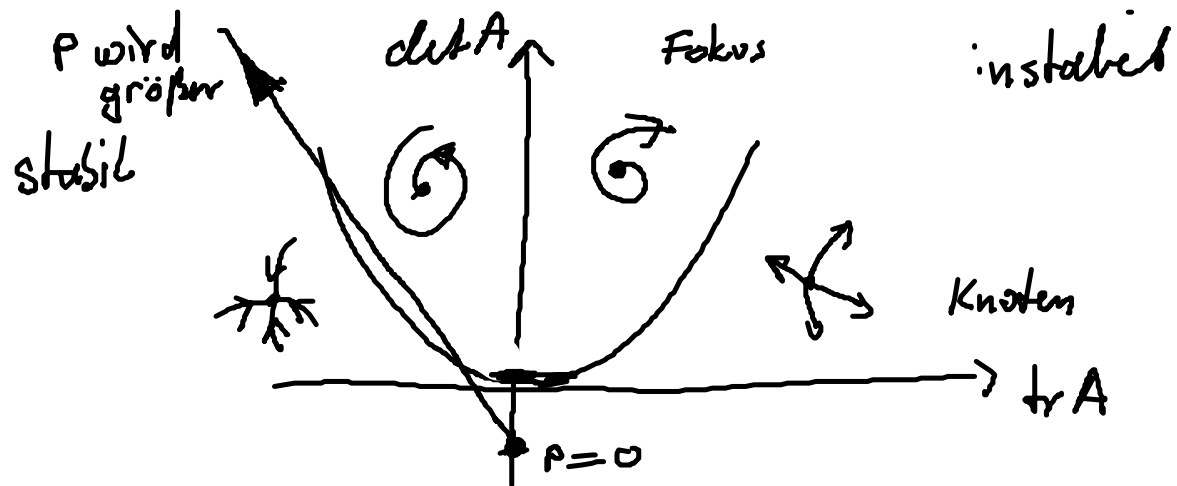
$$\det A = \frac{2k(P-1)}{T} > 0$$

} für $P > 1$

Bem: $\operatorname{tr} A = \lambda_1 + \lambda_2 < 0$

$$\det A = \lambda_1 \cdot \lambda_2 > 0$$

\Rightarrow Stabilität
 \rightarrow Fixpunkt ist stabil



• 2 Fälle für Eigenwerte

$$\lambda_{1,2} = \frac{\operatorname{tr} A \pm \sqrt{(\operatorname{tr} A)^2 - 4 \det A}}{2}$$

(i) EW imaginär

(ii) EW reell

(i) $\det A > 0$, $\operatorname{tr} A < 0$, $(\operatorname{tr} A)^2 < 4 \det A$

$$\lambda_{1,2} = -\Gamma \pm i\omega$$

komplex konjugiert

$$-\Gamma = \operatorname{Re} \lambda_{1,2} < 0$$

$$\text{mit } \Gamma = -\frac{\operatorname{tr} A}{2} = \frac{p}{2T}$$

Dämpfungskonstante

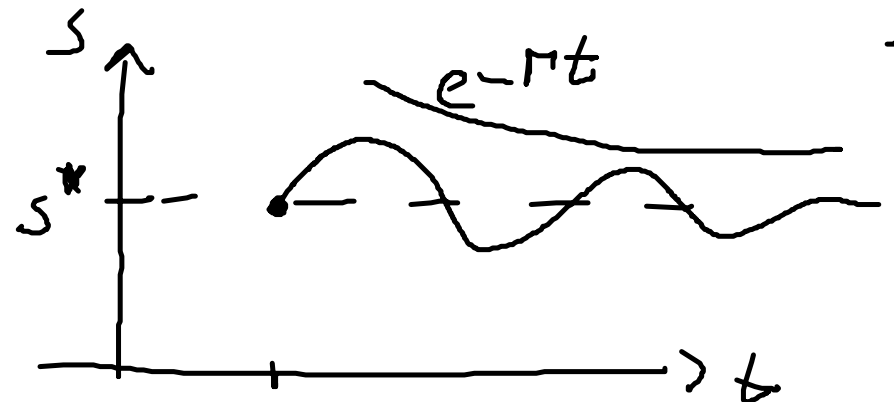
$$\omega = \frac{1}{2} \sqrt{\frac{8k}{T} (p-1) - \frac{p^2}{T^2}}$$

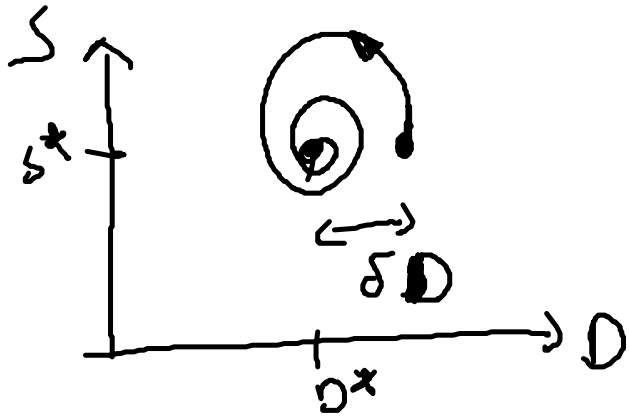
Oszillations-
frequenz

allgemeine Lösung

$$\begin{pmatrix} \delta D \\ \delta s \end{pmatrix} = c_1 \cdot \eta_1 e^{(-\Gamma + i\omega)t} + c_2 \cdot \eta_2 e^{(-\Gamma - i\omega)t}$$

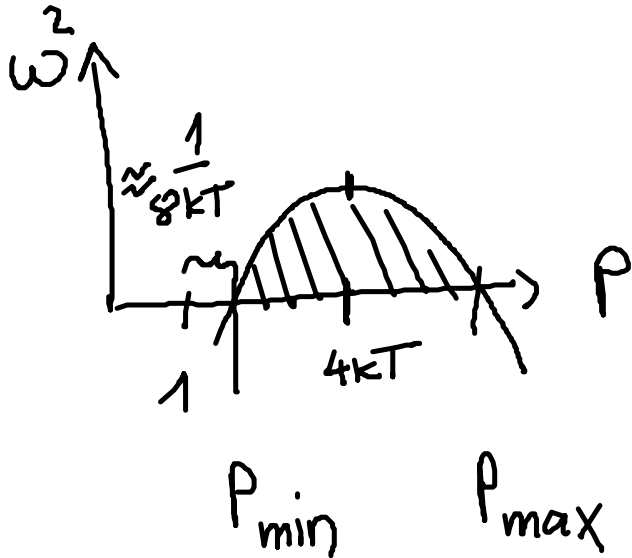
gedämpfte Oszillationen: Relaxationsoszillationen (RO)





← Phasenraum

- stabiler Fokus (Strudelzentrum)
 ~ Trajektorien sind Spiralen



$$\omega = \frac{1}{2} \sqrt{\frac{8k}{T}(\rho - 1) - \frac{\rho^2}{T^2}}$$

- an der Schwelle treten keine RO auf sondern erst für $\rho > \frac{1}{8kT}$

• Bereich der RO ist begrenzt durch P_{\min} und P_{\max}

• Notwendige Voraussetzung

$$2kT > 1$$

$$\frac{T}{\tau_{ph}} > 1$$

"Elektronen müssen länger
als Photonen in der Kavität"

• $2kT \gg 1$

Zeitskalentrennung
je größer $2kT$ desto ausgeprägter
sind die RO

Zeitskalenparameter $\gamma = \frac{\tau_{ph}}{T} = (2kT)^{-1}$

Class B Laser

(wenn μ klein
 $2kT \gg 1$)

Größenordnungen

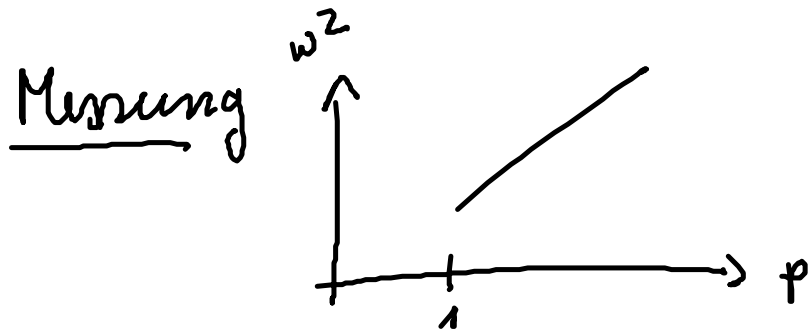
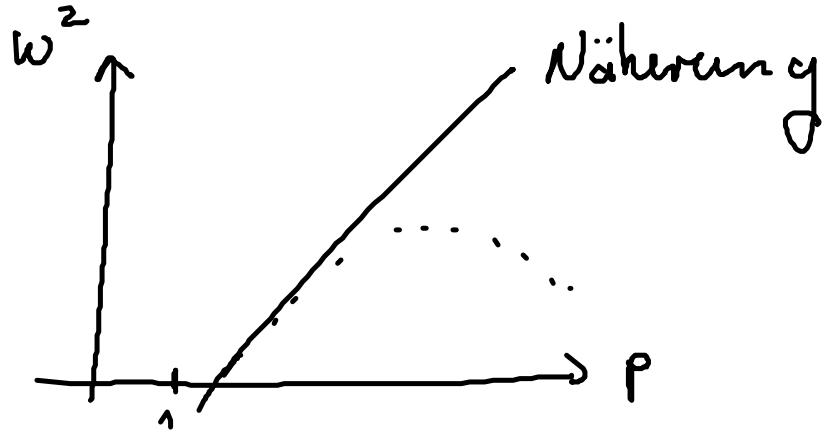
Laser	$\tau_{ph}(s)$	$T(s)$	μ
CO ₂	10^{-8}	$4 \cdot 10^{-6}$	$2.5 \cdot 10^{-3}$
Halbleiter Gas	10^{-12}	10^{-9}	10^{-3}
HeNe	10^{-7}	10^{-8}	> 1

} $\left. \begin{matrix} < 1 \\ B \end{matrix} \right\}$

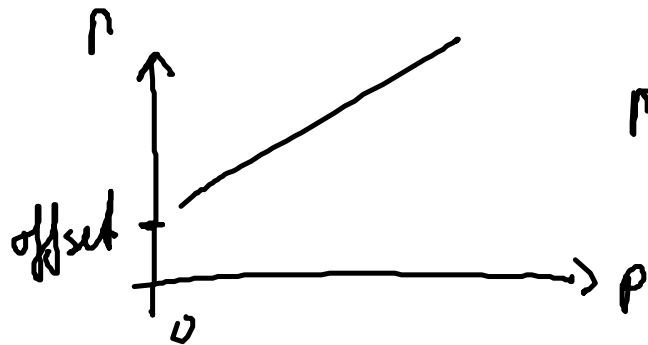
Näherung für $P \ll 4kT$ und somit

$$\frac{P^2}{T^2} \ll \frac{8k}{T} (P-1)$$

$$\Rightarrow \omega^2 \approx \frac{2k}{T} (P-1)$$



→ Bestimmung von $\bar{\sigma}_{ph}$
oder T möglich



$$p = \frac{p}{zT}$$

→ Bestimmung von T
möglich